

不飽和土の応力経路

信州大学工学部 正員 川上 哲
・・・ ○ 阿部 広史

1. 目的 不飽和土に対して有効応力の原理を適用した場合, Jenningsら¹⁾により, その適用限界が存在するといわれ, この原理と矛盾する挙動を示してくれる。そこで著者らは, 不飽和土の土粒と骨格の構造性の差に着目し, セン断強さがこの構造性に依存することを示してきた²⁾。また不飽和土の体積変化は有効応力・サクション・土の構造・セン断応力という多種の要素に支配されることもあさらかにしてきた。今回は同様なる考え方のもとに, 土の構造性の差による挙動を圧縮特性の面から考察してみる。特に, ある応力状態で soakさせ, サクションを解放した時に生じてくる, collapseの現象を中心とし, この現象が生ずる限界, collapse量の予測, 有効応力原理となぜ矛盾してくれるかについて, 圧密試験結果から述べる。

2. 供試体条件及び試験方法 実験に用いた試料の物理的性質は, $LL = 39$, $PI = 9$, 比重 2.73, 最大粒径 2.0 mm , 砂分 25%, シルト分 55%, 粘土分 20% である, 砂質シルトに属する。統一土質分類では ML となる。

供試体の突固めは, 三種類の方法により行なわれ, それぞれの突固め曲線が図-1に示してある。曲線Iは標準の突固めにより得られたものであり, 曲線IIはその半分の突固め効果(落下高さ 15cm)によるもの, 曲線IIIはハーバードタンパーを用いたものである。供試体は, I・IIについては, モールドから押し出されたものを切り出し, IIIは圧密リング内に直接突固めたものを用いた。図中の供試体番号Aは最適含水比, Bが湿潤側, C・Dが乾燥側であることを示している。スラリーの圧密試験では, 液性限界程度にねられた試料を圧密リング内に直接流し込んだものに載荷した。

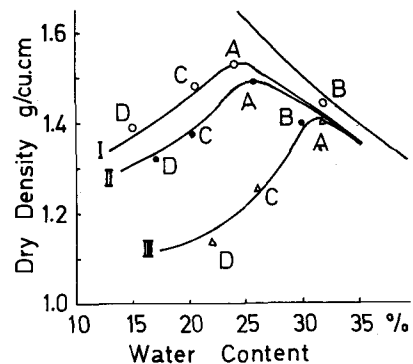


図 - 1

試験機は標準の固定リング型圧密試験機を用いたが, 不飽和土の載荷時には乾燥したポーラスストーンに適当な湿気を与えた紙を張り, 圧密容器周辺をぬれた布で被して試料の乾燥を防止した。実験は, 饱和度の高いもの(最大乾燥密度及び湿潤側に相当するAとB)については, 初期荷重として 0.1 kg/cm^2 をかけた段階で soakし, 饱和土として行った。乾燥側に属するC及びDについては, 0.1 kg/cm^2 でサクションを解放したものの及び不飽和土のまま圧密し, 0.8 , 3.2 , 12.8 kg/cm^2 のいずれかの荷重段階で soakし, サクションを解放させて collapseの現象を観察したものがある。サクションの解放は, できるだけ強制的な水圧をかけないようにつとめ, まずサクションによる土の吸引力をみて十分吸水させ, その後, 水位を供試体頂部までゆっくり上昇させた。なお各荷重段階で soakした場合にも, collapseによる沈下が落ちた後, 荷重は 12.8 kg/cm^2 までそれを上昇させた。

3. スラリーの圧密試験結果 スラリーの状態にある土を圧密した場合の荷重沈下曲線が図-2中

に示されている。これは通常言われている圧密曲線となうべきもので、やくくりとして弧を描いている。スラリーの状態で圧密を行うことは、試料が極端に軟らかいため、その初期状態が不安定となる。したがって、比較的大きな初期間隔比のバラツキを見たが、計6本の試験から妥当と思われる線を選出した。

4. 湿潤側及ぶ最適含水比の上の圧密試験 図-1中のI-A・B, II-A・B及びIII-Aに位置する土の荷重沈下曲線を図-2に示している。各線と共に、スラリーの線の下側にあり、次第にこの線に漸近する傾向を示す。

よじ突き固めによる効果が、圧密降伏応力と同様の効果を表している。なお、最適含水比の土を、ある程度荷重が増加した段階でsoakした場合、soak中の二次圧密による効果と思われるごくわずかの沈下を示したが、collapseのような沈下は全く現れず、その後の荷重沈下曲線もスラリーの線に漸近する傾向を示し、特に大きな変化は生じなかつた。以上により、これらの土はかなりよく似た土の構造性をもつものではなかつたと考えられる。例えば、配向構造に近いものと推察される。

5. 乾燥側の土の圧密試験 soakingにより大きなCollapseを生じた例が図-3に示されている。これはIII-Dに相当するものであり、今回行った試験では最も不安定な構造をもつ土と考えられる。まず、 $0.1 \sim 0.8 \text{ kg/cm}^2$ まで、三本の供試体はともに不飽和土のまま圧密される。そして 0.8 , 3.2 , 及び 12.8 kg/cm^2 のいずれかの荷重状態で沈下がおさまった後にsoakさせた。Collapseが生ずる場合は、一般にsoak後数分ないし30分位いで急激に生じ、その後の沈下量はごくわずかである。 0.8 及び 3.2 kg/cm^2 でsoakされたものについては、その後、引き続き飽和土の圧密試験として、 12.8 kg/cm^2 まで載荷を行なつた。soak lineとして図中に示したものは、これら三本の供試体と同じ条件のもので 0.1 kg/cm^2 の荷重状態でsoakし、その後、飽和土として圧密され下るものである。不飽和土圧密の途中の段階でsoakした場合、このsoak lineに到達するようなcollapseを生じ、その後はこのsoak lineに沿つて沈下を示す。

全応力を示した不飽和土の沈下曲線に付し、有効応力をこれを表わすと、一般に図-4のごとく示される。図中のA点でsoakすることとは、有効応力を考慮するとB点までsoakしたことになり、C点までサクションの開放によつて有効応力の減少と沈下が生ずる。

乾燥側で突き固められた土は不安定な構造(例えばランダ

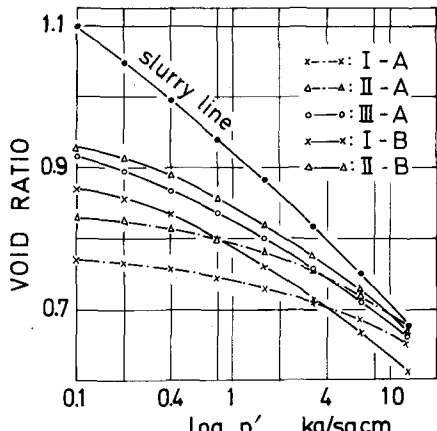


図 - 2

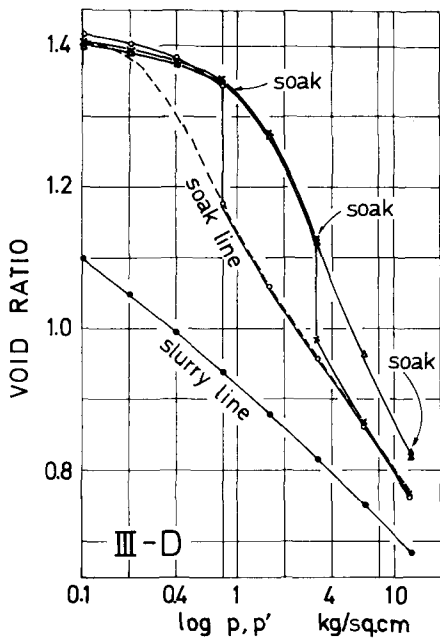


図 - 3

ム構造)をもつており、それはサクションによりささえられていく。この状態でサクションが解放されると、この不安定な構造はより安定なものへと変化しようとする。このとき構造のcollapseを生ぜしめに充分な荷重が働いていれば、collapseによる沈下を生じ、soak lineまで変化する。したがって、B点からC点へ至る間の沈下は土の構造が変化する(例えばランダム構造から不完全配向構造へ)ための沈下で、通常の有効応力の変化による膨張収縮とは性質を異にする。この沈下がC点にとどまり、D点に達しないことはcollapse後の構造がスラリーの構造とは異なる(例えば不完全配向構造と完全配向構造)と推測される。Collapse量の比較的小ないものが、図-5に示された。初期剛性比にバラツキはあるが、soak後、同様の傾向が示される。

三種類の充固め状態における乾燥側のもののうち、 0.1 kg/cm^2 でsoakしたもの(soak line)とまとめてみると、図-6になる。この図が示すように、試料の初期状態には関係なく、荷重の大きい所で、soak lineは相互に漸近して行く。しかし、このsoak lineはスラリーの沈下曲線とは一致せず、不飽和土特有のsoak lineが現われてくる。特別に大きな荷重での試験を行なえば、一致するようになるものと推測されるが、現状では一致しないとみてよい。

6. 強度差への影響 飽和度 95, 85 および 65% で充固め後 soakし、飽和した試料の三軸試験の結果、state surfaceが曲面となることを示した²⁾。これらの結果を σ' - T 面に投影した破壊包絡線を図-7に示す。飽和度 95% のものは、圧密試験の性状より考えると、構造的により dense なものとなっていると推測され、また飽和度 65% のものは、soak後も slurry の線より上の、より loose な構造の状態にあると思われる。このことは、せん断による破壊包絡線において、95% 饱和度の ϕ' が大きく、飽和度 65% の ϕ' が小さいことと一致している。したがって、もし slurry 状試料の三軸試験を行なえば、図中に破線で示したように、95% の ϕ' と 65% ϕ' の中间の結果がえられるものと

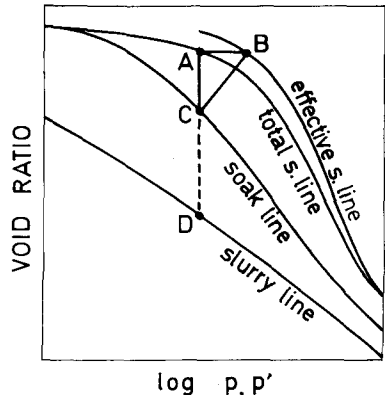


図 - 4

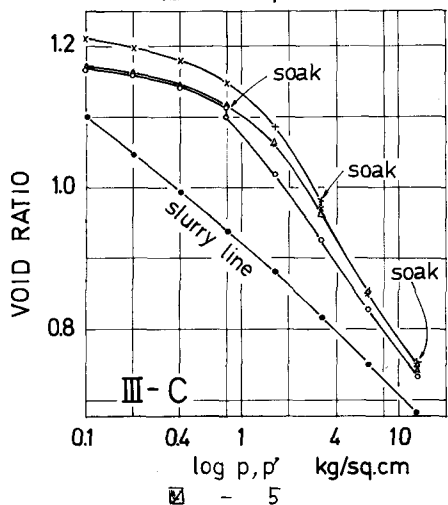


図 - 5

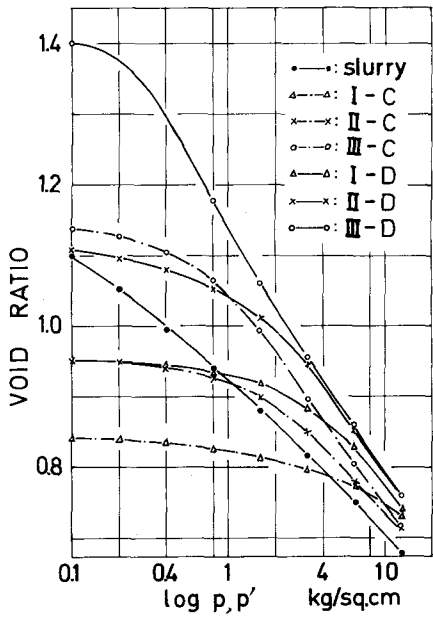


図 - 6

推測される。そして 95% 試料は、圧密の場合、荷重の大きさなどと slurry の荷重沈下曲線に近づいたように、三軸試験の破壊点も応力の大きさなどと、下降気味の傾向を示し、推測される slurry の破壊包絡線に近づくことを示していると考える。（図-7 の 95-line は最小自乗法的な見地から直線を示したが、X印で示した破壊点を見ると、この傾向をよく表わしている。）なお 65% 試料は、この程度の応力状態では、充填エネルギーが比較的大きいため、slurry の線に下側から近く傾向を示していないが。

さらに大きな応力状態では、そのような傾向を示し、圧密試験の結果と一致していくものと考える。

7. 結論
 - 1). 饱和度 85~90% 以上で得た充填め土の沈下曲線は、slurry の沈下曲線の下側（密度の大きな側）より slurry 線に漸近する。
 - 2). 饱和度 85% 以下で得られた充填め土の沈下曲線は、特有の soak line を有し、slurry の沈下曲線より上方（密度の小さな側）に位置する。
 - 3). soak line と不飽和土の（全応力を示した）沈下曲線とが重なるか否か、あるいは Collapse 量を予測できる。
 - 4). ある荷重のもとで不飽和土を soak した時、構造の collapse により、この土の soak line に達する沈下が生ずるが、soak line と slurry 線との不一致は collapse 後の構造と slurry の試料の構造との差によるものと考えうる。
 - 5). これら構造の差にもとづく、試料密度の差は、せん断時の破壊包絡線の差に傾向として一致している。

8. あとがき これらの実験にあたり、三井敏夫君（京王帝都電鉄）の助力を得た。また研究費の補助を受けた。記して深く感謝の意を表したい。

参考文献

- 1). Jennings, J. E. and Burland, J. B. (1962) " Limitations to the Use of Effective Stresses in Partly Saturated Soils " Geotechnique, Vol.12, No.2
- 2). 川上・阿部 (1972) 「不飽和土せん断時の体積変化と Collapse」 土質工学会、第7回研究発表会